



VILNIAUS UNIVERSITETAS

GAMTOS MOKSLŲ FAKULTETAS

GEOLOGIJOS IR MINERALOGIJOS KATEDRA

*Geologijos* magistro programa

II kurso studento

Juozo Bičkūno

MAGISTRO DARBAS

## Vidurinio kambro Pajūrio svitos geoterminis potencialas

Darbo vadovas: dr. Dainius Michelevičius

Darbo įteikimo data \_\_\_\_\_

Registracijos Nr. \_\_\_\_\_

Vilnius, 2012

## TURINYS

|  |    |
|--|----|
| <u>IVADAS</u>  | 3  |
| 1. ANKSTESNIŲ DARBU APŽVALGA   | 5  |
| 2. TYRIMU METODIKA   | 8  |
| 3. KOLEKTORINIŲ SAVYBIŲ IVERTINIMAS                                  | 11 |
| 3.1 STORIŲ IR MOLINGUMO ANALIZĖ                                      | 11 |
| 3.2 PORINGUMO ANALIZĖ  | 12 |
| 3.3 SKVARBUMO ANALIZĖ  | 14 |
| 5. VANDENS TEMPERATŪROS PASISKIRSTYMAS                               | 16 |
| 6. GREŽINIŲ DUPLETO GEOTERMINIS POTENCIALAS                          | 17 |
| 7. REZULTATŲ APIBENDRINIMAS BEI PALYGINIMAS SU ANKSČIAU PUBLIKUOTAIS | 23 |
| <u>IŠVADOS</u>   | 25 |
| <u>LITERATŪROS SARAŠAS</u>   | 26 |
| <u>SUMMARY</u>   | 27 |

## IVADAS

*Darbo aktualumas.* Dvidešimtojo amžiaus septintajame dešimtmetyje naftos žvalgybos tikslais pradėjus gręžti giluminis gręžinius Vakarų Lietuvoje nelauktai atrastos geoterminio lauko anomalijos. Pastebėta, jog Lietuvoje, lyginant su kaimyninėm valstybėm, pasižymi palankiomis geoterminėmis sąlygomis, tačiau geoterminė energija, išskyrus sekliją geotermiką, kuri šalyje sparčiai populiarėja, Lietuvoje vis dar mažai naudojama. Turint omeny, koks svarbus šiuo metu energetikos klausimas, Lietuvai siekiant energetinės nepriklausomybės, taip pat ir siekiant sumažinti deginamo kuro taršą, geoterminės energetikos vystymas Vakarų Lietuvoje galėtų būti puiki alternatyva. Taipogi geoterminė energija gali būti naudojama ne tik su energetika susijusiose srityse, kaip antai, balnealogija, žuvivaisa, šiltinamių šildymas ir pan. Atliktame darbe siekta kiekybiškai įvertinti Vakarų Lietuvos Pajūrio svitos geoterminį potencialą tiek vertikaliems, tiek ir horizontaliems gręžiniams. Iki šiol geoterminis potencialas vertintas tik horizontaliems gręžiniams, tačiau šiais laikais, kai horizontalūs gręžiniai plačiai naudojami, yra sukaupta nemenka jų gręžimo bei eksploatacijos patirtis, tikslinga įvertinti ir jų panaudojimo galimybes.

*Tyrimo objektas.* Vidurinio Kambro Pajūrio svitos nuogulos pasirinktos neatsitiktinai – iš vidurio Kambro šiuo momentu vystoma naftos gavyba ir todėl sukaupta daugiausia geologinių, geofizinių ir laboratorinių tyrimų duomenų.

*Tiriamais plotas.* Tiriamuoju plotu pasirinkta plati Vakarų Lietuvos teritorija, kurioje ankstesniais tyrimais nustatyta Baltijos geoterminė anomalija.

*Darbo tikslai:*

- Įvertinti Vidurinio Kambro Pajūrio svitos kolektorines ir geotermines savybes.
- Sudaryti skvarbumo, efektyvių storijų, temperatūrų ir gylių žemėlapius.
- Suskaičiuoti Vidurinio Kambro Pajūrio svitos geoterminį potencialą vertikalių ir horizontalių gręžinių dupletams, rezultatus pateikiant žemėlapiais.

Siekiant užsibrėžto tikslo buvo iškelti šie uždaviniai:

- Susisteminti vidurinio Kambro Pajūrio svitos vandeningų horizontų kolektorinės ir geoterminės savybės.
- Apsirašyti geoterminio potencijalo vertinimo metodiką.
- Išisavinti „GEOGRAPHICS“ programinę įrangą kolektorinių savybių analizei bei galutinių duomenų interpoliacijai ir izolinijų žemėlapių sudarymui.

*Darbo praktinė reikšmė ir pritaikymas.* Matematiškai įvertintas Pajūrio svitos geoterminis potencialas vertikalių ir horizontalių grėžinių dupletams leidžia įvertinti karšto vandens panaudojimo sąnaudas ir atsiperkamumą. Taipogi sudarytieji žemėlapiai padeda numatyti potencialias vietas, kuriose naudingiausia gręžti grėžinius geoterminio vandens išgavimui.

*Magistrinio darbo struktūra ir apimtis.* Darbą sudaro įvadas, 7 skyriai, išvados, literatūros sąrašas (8 šaltiniai ir fondinė medžiaga), santrauka anglų kalba, tyrimo rezultatai, pateikti 5-iuose žemėlapiuose, kai kurie tyrimų rezultatai, pateikti 2 lentelėse, pateiktos 4 iliustracijos, darbo apimtis – 27 puslapiai.

## ANKSTESNIŲ DARBU APŽVALGA

Apie Lietuvos žemės gelmių šilumą duomenys pradėti kaupti pradėjus gręžti pirmuosius giliuosius gręžinius. Dažniausiai šie gręžiniai gręžti naftos paieškoms. Apibendrinus tyrimų duomenis XX a. 7-ame dešimtmetyje nustatyta, jog Rytų ir Vidurio Lietuvos teritorijoje geoterminis gradientas yra apie  $2 - 3^{\circ}\text{C}/100\text{ m}$ , o šilumos srautas – apie  $45\text{ mW/m}^2$ . Šie rodikliai daugmaž prilygsta vidurkiniam fono dydžiams. Tačiau Vakarų Lietuvoje netikėtai buvo nustatytos geoterminio lauko anomalijos. Buvo surasta, jog geoterminiai rodikliai išsiskiria giliųjų tektoninių lūžių zonos Šilalės, Šilutės bei Tauragės rajonuose. Palyginti su Vidurio ir Rytų Lietuvos teritorija, čia geoterminis gradientas yra  $3,5 - 4^{\circ}\text{C}/100\text{ m}$  ir daugiau, o šilumos srautas - apie  $100\text{ mW/m}^2$ . Kadangi šie anomalūs rodikliai nustatyti didokame Lietuvos ir Kaliningrado kraštų vakarinėje dalyse, taip pat ir gretimoje Baltijos jūros akvatorijoje, konstatuota, kad čia egzistuoja platus masto regioninė Baltijos geoterminė anomalija (Чермак, Чепмен, Поллак и др., 1982).

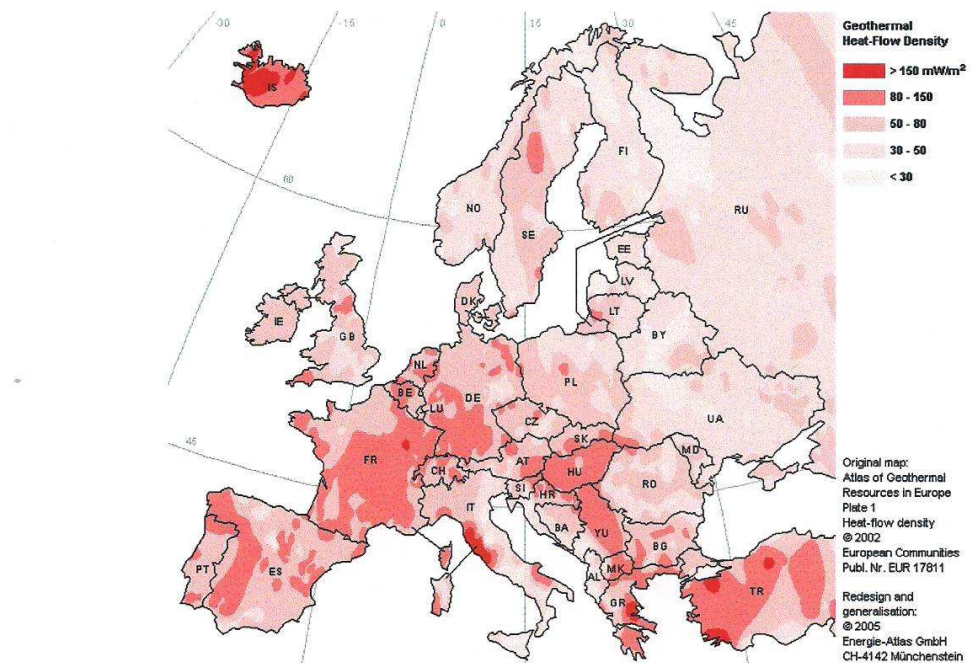
Geoterminiai tyrimai Lietuvoje pradėti nuo 1987 metų. Juos pradėjo Lietuvos geologijos institutas drauge su Rusijos Sankt Peterburgo kalnų institutu. Pagrindinis darbų iniciatorius buvo Povilas Suveizdis. Kompleksiniais metodais buvo ištirtos ir įvertintos Vakarų Lietuvos geoterminės anomalijos geologinės sąlygos. Geoterminė anomalija buvo išryškinta petrogeotermių sąlygų atžvilgiu kristaliniame pamate ir hidrogeotermių sąlygų atžvilgiu nuosėdinėje dangoje, konkrečiai – Kambro, Apatinio-Vidurinio Devono ir Vidurinio-Viršutinio Devono hidrogeotermiuose horizontuose. Apskaičiuoti potencialūs geoterminės energijos ištakliai pagal hidrochemines, kolektorines, temperatūros ir daugelį kitų sąlygų. (Kepežinskas, Rastenienė, Suveizdis, 1996). Šiuos darbus vainikavo atlirkti praktinės reikšmės darbai: 1989 m. ties Vydmantais buvo išgręžti du geoterminiai gręžiniai. Vienas jų – Vydmantai-1 – giliausias Lietuvoje (2564 m. gylio), teikiantis daug informacijos geologijos mokslui.

1991 m. Danijos aplinkos apsaugos agentūrai finansuojant ir bendradarbiaujant su specialistais iš „Petroleum Geology Investigators“ (vadovas Lars Tallbaca) buvo parengtas „Baltijos geoterminės energijos panaudojimo projektas“, kuriami įvertintos geoterminės energijos naudojimo galimybės Lietuvoje, t. y. žemos temperatūros ( $25-80^{\circ}\text{C}$ ) labai mineralizuoto požeminio vandens panaudojimas šildyti pastatus ir ruošti karštą vandenį. Šiu

tyrimų rezultatas – pastatyta Klaipėdos pavyzdinė geoterminė elektrinė. Išgręžti 4 geoterminiai gręžiniai.

1995 – 1997 m. Vokietijos įmonė „Geothermie Neubrandenburg“ įvykdė „Vilkaviškio balneologinį geoterminį projektą“ ir vykdė geoterminius tyrimus Vydmantuose bei Šilutėje.

1996 m. UAB „Geoterna“, vykdyma Europos sajungos užsakymą, paruošė seriją Lietuvos geoterminių žemėlapiai, skirtų ES geoterminių išteklių atlasui (1 pav.). Darbų metu Lietuvos geoterminiai ištekliai įvertinti 5 ir 10 km gylyje, naudojant Rusijos Sankt Peterburgo kalnakasybos instituto metodiką (Дадкин, Вайнблат, Богуславский, 1989). Įvertinti Kambro, Apatinio-Vidurinio Devono ir Vidurinio-Viršutinio Devono hidroterminiai kompleksai.



I pav. Europos šilumos srauto žemėlapis, mW/m<sup>2</sup>

Gausi informacija apie Lietuvos geoterminius tyrimus ilgą laiką buvo išsibarsčiusi įvairiose ataskaitose, kol, galiausiai, 2000 – 2001 metais, vykdant „Lietuvos geoterminiu duomenų bazės“ kūrimą visi duomenys buvo surinkti ir susisteminti. Tais metais buvo susisteminti ir į duomenų bazę įkelti 197 gręžinių, kuriuose anksčiau atliliki temperatūros matavimai, duomenys. Duomenis sudaro 404 taškinių matavimų reikšmės ir 120 terminės diagrafijos kreivių, kurios buvo surinktos ir nudigituotos. Pastarųjų gylis svyruoja nuo 400 m. pietinėje Lietuvoje iki 2000 m. vakarinėje Lietuvoje (S.Šliaupa, 2002).

Lietuvos geoterminių išteklių tyrimai vyksta ir iki šiol. 2008 m. Geologijos ir geografinijos institutas drauge su specialistais iš Kauno regioninės energetikos agentūros ir Kauno technologijos universiteto įvertino Vakarų Lietuvos petrogeotermius ir hidrogeotermius išteklius pasinaudodami nauja metodika. (S. Šliaupa, A. Zuzevičius, V. Rastenienė, A. Baliukevičius, F. Zinevičius, J. Gudzinskas, K. Buinevičius, 2008).

## TYRIMO METODIKA

Vidurinio kambro Pajūrio svitos kolektorinės ir geoteminės savybės bei geoteminis potencialas įvertinti Vakarų Lietuvos teritorijoje, kur yra nustatyta Vakarų Lietuvos geoteminė anomalija. Darbui atlkti buvo pasirinkti 34 Vakarų Lietuvos grėžinių, pragrežusių Pajūrio svitą ir tolygiai išsidėsciusių plote (žr. 8 pav.), diagrafijos, kerno tyrimų duomenys bei termografijos ir kitais metodais užfiksuotos Kambro kraigo temperatūros. Diagrafijos ir kerno tyrimų duomenys gauti iš LGT fondų bei naftos gavybos bendrovii duomenų bazių, o termografijos duomenys – iš LGT duomenų bazės.

Pajūrio svitos uolienu kolektorinių savybių pasiskirstymo analizei buvo naudojama geologinio modeliavimo programinė įranga „Geographix“, konkrečiau - du jos moduliai: „Prizm“ – petrofizinei grėžinių interpretacijai atlkti ir „GeoAtlas“ – duomenų interpoliacijai bei izolinijų žemėlapiai sudarymui.

Sprendžiant darbe išsikeltus uždavinius, pirmiausia Pajūrio svita buvo litologiškai suskaidyta į smėlingus ir molingus sluoksnius. Tai buvo atliekama programinės įrangos „Geographix“ GGT interpretacijos moduliu „Prizm“. Tam tikslui naudota gamtinės gama spinduoliuotės (GM) metodu gautos kreivės. Atraminės stratigrafinės ribos paimtos iš tiriamojo ploto grėžiniuose atlktų kambro stratigrafijos darbų (Jankauskas, 2002). Vėliau „Geographix“ programinės įrangos kartografovimo moduliu „GeoAtlas“ pagalba sudarytas vidurinio kambro Pajūrio svitos efektyvių storijų žemėlapis.

Toliau darbe buvo skaičiuojamos išskirtų Pajūrio svitos kolektorių poringumo ir skvarbumo vertės, „Geographix“ programinės įrangos kartografovimo moduliu „GeoAtlas“ sudarytas Vidurinio kambro Pajūrio svitos skvarbumo žemėlapis. Analizuoti buvo tik tai litologinio suskaidymo metu išskirti smėlingi sluoksniai.

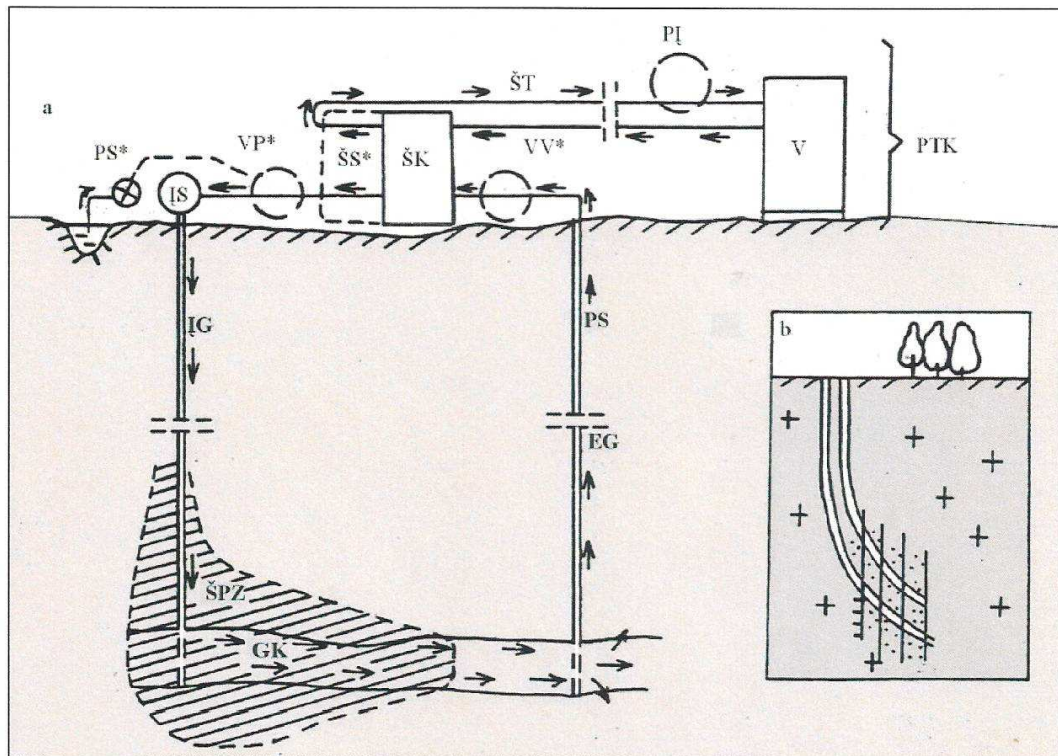
Poringumui įvertinti buvo naudojamas akustinis metodas, kadangi Lietuvos tyrejų darbuose buvo pastebėta, kad Lietuvos sąlygomis šis metodas geriausiai atspindi uolienu poringumą (Vaznonis, 1996).

Skvarbumas buvo paskaičiuotas pagal kerno bandinių laboratorinės analizės duomenis. Charakterizuojant kiekvieno grėžinio Pajūrio svitos kolektorių skvarbumą, gautos

skvarbumo vertės suvidurkintos. Vėliau „Geographix“ programinės įrangos kartografiavimo moduliu „GeoAtlas“ pagalba sudarytas vidurinio kambro Pajūrio svitos skvarbumo žemėlapis.

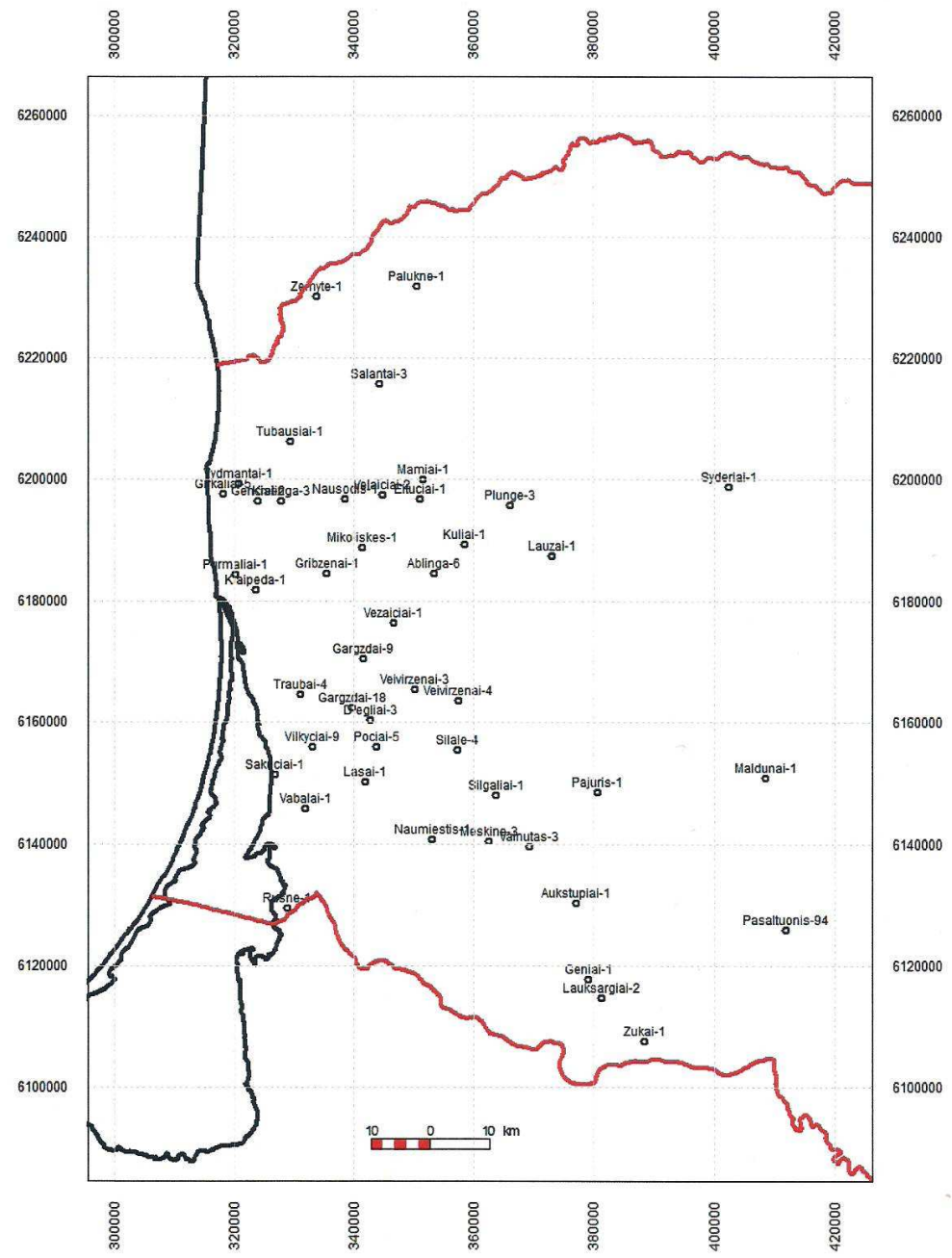
Toliau darbe panaudojant LGT duomenų bazėje saugomas tirtų grėžinių Kambro kraigo temperatūras ir „Geographix“ programinės įrangos kartografiavimo modulį „GeoAtlas“, sudarytas Kambro vandeningo horizonto kraigo temperatūrų žemėlapis.

Toliau darbe buvo paskaičiuotas vidurinio Kambro Pajūrio svitos geoterminis potencialas. Kaip žinia, terminiame Žemės gelmių vandenye yra nemaži kiekiai ištirpusių dujų ir druskų, kurie yra kenksmingi gamtinei aplinkai. Norint išvengti teršimo, viena iš priemonių – panaudotą terminį vandenį supumpuoti atgal į sluoksnį. Tokiu principu veikia taip vadinama geoterminė cirkuliacijos sistema (GCS). Jos schema pavaizduota 2 pav.



2 pav. Geoterminė cirkuliacijos sistema (Suvezdis, Rastenienė, 2005)

Atsižvelgiant į ši metodą, geoterminis potencialas paskaičiuotas tiek vertikaliu, tiek horizontaliu grėžiniu dupletams – eksploraciniam bei injekciniam grėžiniui. Visiems matematiniams skaičiavimams buvo naudota matematinė programinė įranga „MathCad“. Maksimaliu galingumu žemėlapiams sudaryti buvo naudojamas „Geographix“ programinės įrangos kartografiavimo modulis „GeoAtlas“.



### Legenda

- LR sieną
- Juros krantas
- Grezinys

3 pav. Gręžiniai, kurių duomenys naudoti darbe

## KOLEKTORINIŲ SAVYBIŲ ĮVERTINIMAS

Vienas svarbiausių parametru, pagal kurį galima spręsti apie geoteminio telkinio išteklius, tai vandeningo sluoksnio kolektorinės savybės. Kolektorius turi turėti pakankamai didelį poringumą, kad Jame galėtų kaupitis fluidai, ir turi būti pakankamai skvarbus, kad fluidai galėtų migruoti į gręžinį eksploatacijos metu. Šiame darbe, norint nustatyti Pajūrio svitos kolektorinės savybes, pirmiausia diagrafijos kreivių pagalba atlikta storijų ir malingumo bei poringumo analizė. Pagal jas išskirti efektyvūs sluoksniai. Vėliau pagal kerno bandinių analizę išmatuotas efektyvių sluoksniių skvarbumas.

### Storijų ir malingumo analizė

Kaip žinia, Pajūrio svitos storymė labai kaiti ir sudaryta iš sluoksniuotų kvarcinių smiltainių, susisluoksniaiavusių su argilitais ir malingais aleurolitais (Vosylius, 2002). Dėl šios priežasties darbe panaudotas gręžinių skaidymas į molingus ir smėlingus sluoksnius. Tam, kad būtų korektiškai atlikta kolektorių skvarbumo bei poringumo analizė, visuose gręžiniuose buvo pabandyta atsekti Pajūrio svitos ribas. Atraminės stratigrafinės ribos paimtos iš Jankausko kambro stratigrafijos darbų (Jankauskas, 2002). Litologinis tyrimė naudotų gręžinių skaidymas buvo atliktas programinės įrangos „Geographix“ interpretacijos moduliu „Prizm“. Malingumo analizei buvo panaudotas gamtinės gama spinduliuotės (GM) metodu gautos kreivės. Naudojant GM metodą gamtinės gama spinduliuotės intensyvumas registruojamas į gręžinį nuleistu radiometru. Šis dydis priklauso nuo radioaktyvių izotopų koncentracijos uolienose. GM metodas geriausiai atspindi uolienų malingumą, todėl jis ir buvo pasirinktas malingumo nustatymui. Uolienų malingumas įvertintas naudojantis formulė:

$$V_{shl} = \frac{GM - GM_{sand}}{GM_{shl} - GM_{sand}},$$

kur  $GM_{shl}$  – radioaktyvumo vertė, kuri atitinka molingiausius sluoksnius, argilitus,  $GM_{sand}$  – švarių smiltainių radioaktyvumą atspindinti minimali vertė (Дахнов, 1975). Šitaip perskaičiavus GM kreivę gaunama reikšmė nuo 0 iki 1, kur 0 reiškia itin švarius smilatainius, o 1 – argilitus.

## Poringumo analizė

Efektyviausias būdas nustatyti poringumą gręžiniuose yra taikant diagrafijos metodus. Taip yra dėl to, kad finansiniai sumetimai ir dėl techninių galimybių ribotumo visas dominčio rezervuaro kernas labai retai tėra iškeliamas, o iškėlus visą norimą kerno dalį, mėginių poringumo nustatymams imami tam tikru intervalu, kartais gana plačiu. Kita vertus, diagrafijos pagalba atliekami matavimai yra nepertraukiami ir informacija apie poringumą gaunama visame tirtame intervale. Diagrafijos metodai poringumui nustatyti skiriasi nuo laboratorinių metodų – poringumas nėra tiesiogiai matuojamas, tačiau jis apskaičiuojamas pagal zondų užfiksuotus duomenis.

Šiame darbe poringumui išmatuoti buvo naudotasi akustinio metodo metu gautomis kreivėmis. Naudotas šis metodas, kadangi atlikus daugybę bandymų buvo nustatyta, jog Lietuvos salygomis jis geriausiai atspindi uolienu poringumą (Vaznonis, 1996). Akustinės diagrafijos metu zondas registruoja laiką, per kurį įvairios akustinės bangos praeina viena metrą uolienoje. Tai yra taip vadinamas intervalo praėjimo laikas, kuris yra atvirkštinė greičio funkcija ir yra išreiškiamas mikrosekundėmis per metrą. Bangų sklidimo greitis priklauso nuo uolienos poringumo bei litologinės sudėties. Poringumas buvo išskaičiuotas pagal formulę:

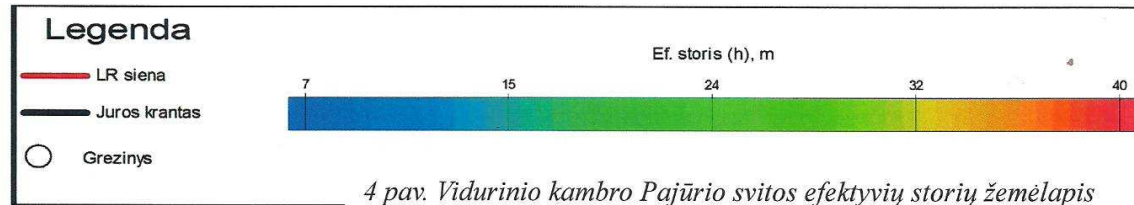
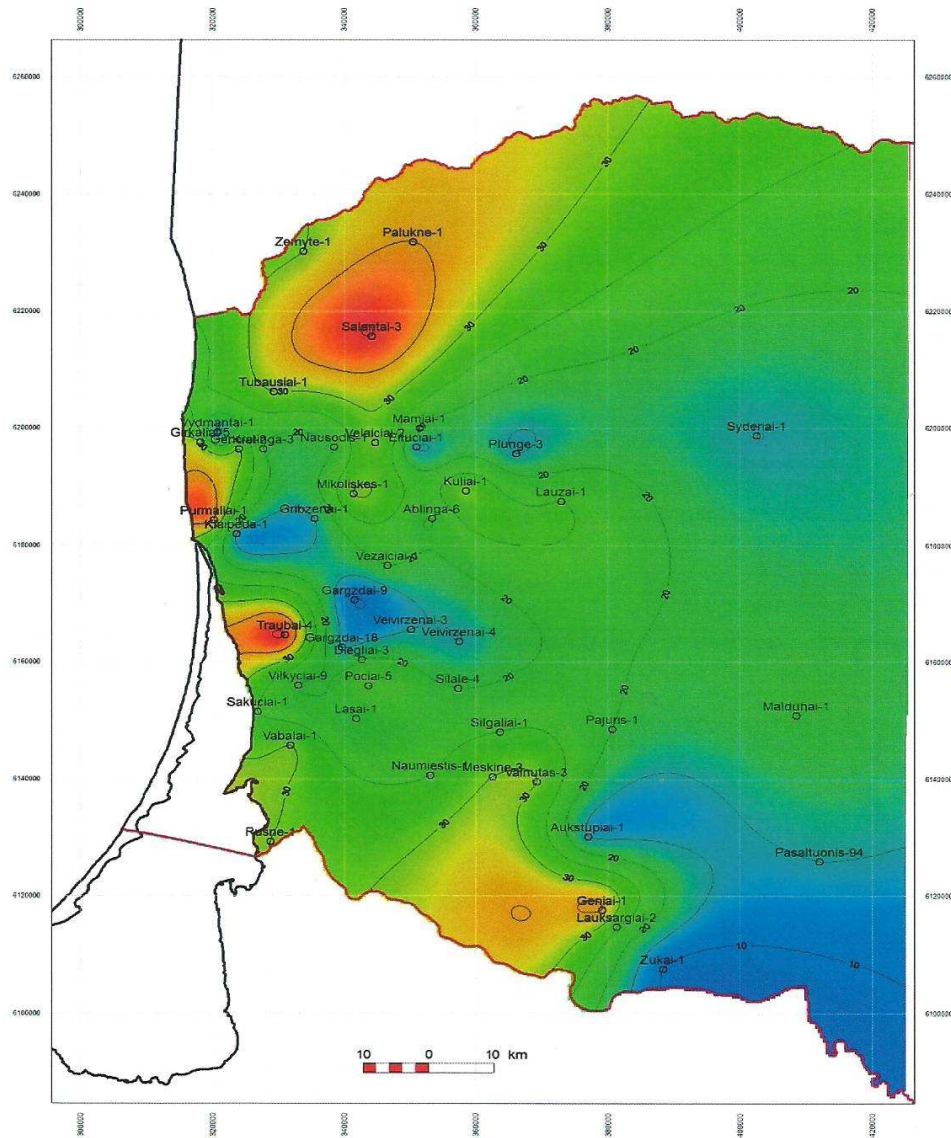
$$\phi_{\log} = \frac{1}{m} \sum_{i=1}^n \frac{(\Delta t_i - \Delta t_{\text{matr}})}{(\Delta t_{\text{fl}} - \Delta t_{\text{matr}})},$$

kur  $n$  – diskretinių kreivės taškų skaičius intervale (paprastai visos kreivės išskaitmeninamos 0.1 metro žingsniu).

Skaičiavimams imti tokie akustinių bangų sklidimo laikai: smiltainiams  $\Delta t_{\text{matr}} = 170 \mu\text{s}/\text{m}$ , fliuidui  $\Delta t_{\text{fl}} = 600 \mu\text{s}/\text{m}$ . Tokie skaičiai imti atsižvelgiant į ankstesnių tyrinėtojų patirtį (Vaznonis, 1996).

Efektyviais sluoksniais laikytis tik tie, kurių poringumas buvo ne mažiau, kaip 6%.

Pasinaudojant „Geographix“ programinės įrangos kartografavimo moduliu „GeoAtlas“ ir gautais storijų ir molingumo bei poringumo rezultatais, sudarytas Pajūrio svitos efektyvių storijų žemėlapis. Izolinijos žemėlapyje sužymėtos kas 5 metrus. Pajūrio svitos efektyvus storis vakarų Lietuvoje svyruoja nuo ~ 5 m. (Žukai-1) iki ~ 40 m. (Salantai-3), o vidutinis – apie 22–23 metrus. Labiausiai išsiskiria 4 zonas, kuriuose efektyvus storis yra 35 m. ir daugiau: ties Traubais, Salantais, Purmaliais ir Geniais.



## Skvarbumo analizė

Skvarbumas nusako uolienos pralaidumą fluidams ir yra svarbus dydis, charakterizuojantis fluido migravimą į gręžinį eksploatacijos metu. Net ir poringa uoliena gali turėti mažą skvarbumą, kadangi jį lemia ne tik poringumas, bet ir uolienos porų susisiekimas bei jų dydis. Paprastai dideliu skvarbumu pasižymi smiltainiai, o skalūnai, nors dažnai yra poringi, tačiau jų skvarbumas mažas kadangi ir jų porų dydis paprastai labai nedidelis. Skvarbumas gali būti skaičiuojamas pagal sekantią formulę:

$$\kappa = K \frac{\mu}{\rho g},$$

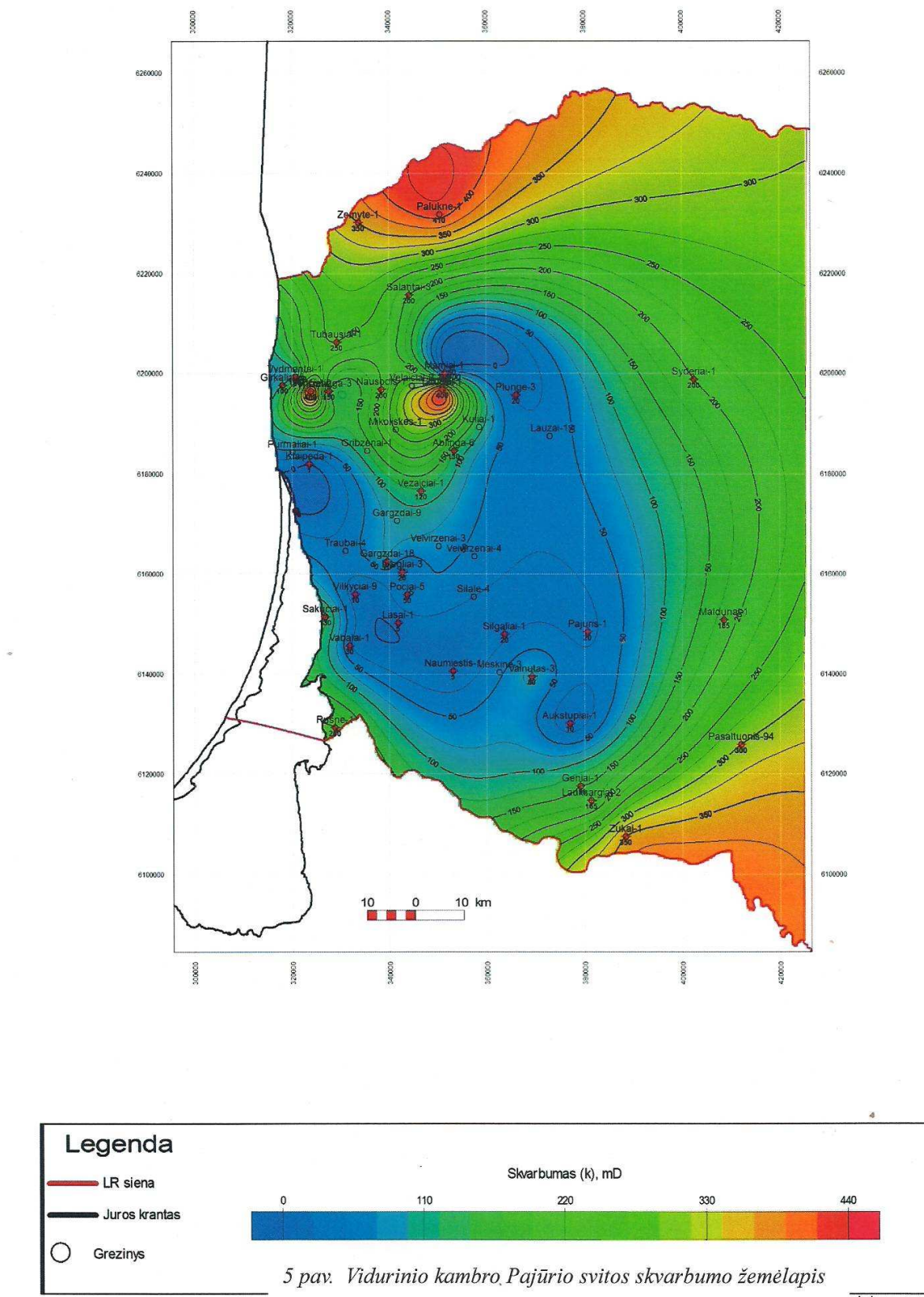
kur  $\kappa$  = skvarbumas [ $m^2$ ],  $K$  = hidraulinis laidumas [ $m/s$ ],  $\mu$  = dinaminis klampumas [ $kg/(m*s)$ ],  $\rho$  = fluido tankis [ $kg/m^3$ ],  $g$  = laisvojo kritimo pagreitis [ $m/s^2$ ].

Praktikoje skvarbumas paprastai skaičiuojamas nesisteminiais vienetais milidarsi [mD], kur  $1 \text{ mD} = 9.869233 \times 10^{-16} \text{ m}^2$ . (Bear, 1972)

Uolienų skvarbumas buvo paskaičiuotas pagal kerno bandinių laboratorinę analizę. Kaip jau minėta, skvarbumo vertinimas kerno bandinyje ne visuomet pilnai atspindi bendrą sistemos skvarbumą, tačiau labiau patikimų slėgio atsistatymo tyrimo duomenų nepakanka tam, kad būtų atlikta skvarbumo pasiskirstymo plote analizė. Analizei buvo naudotos tos skvarbumo vertės, kurios pateko į efektyvių storijų skaidymo metu išskirtus smėlingus sluoksnius. Gręžiniuose į tiriamajį intervalą pateko ne mažiau kaip 3 kerno pavyzdžiai. Buvo imamos visos į intervalą patekusią kerno mèginių vertės ir skaičiuojamas šių verčių aritmetinis vidurkis:

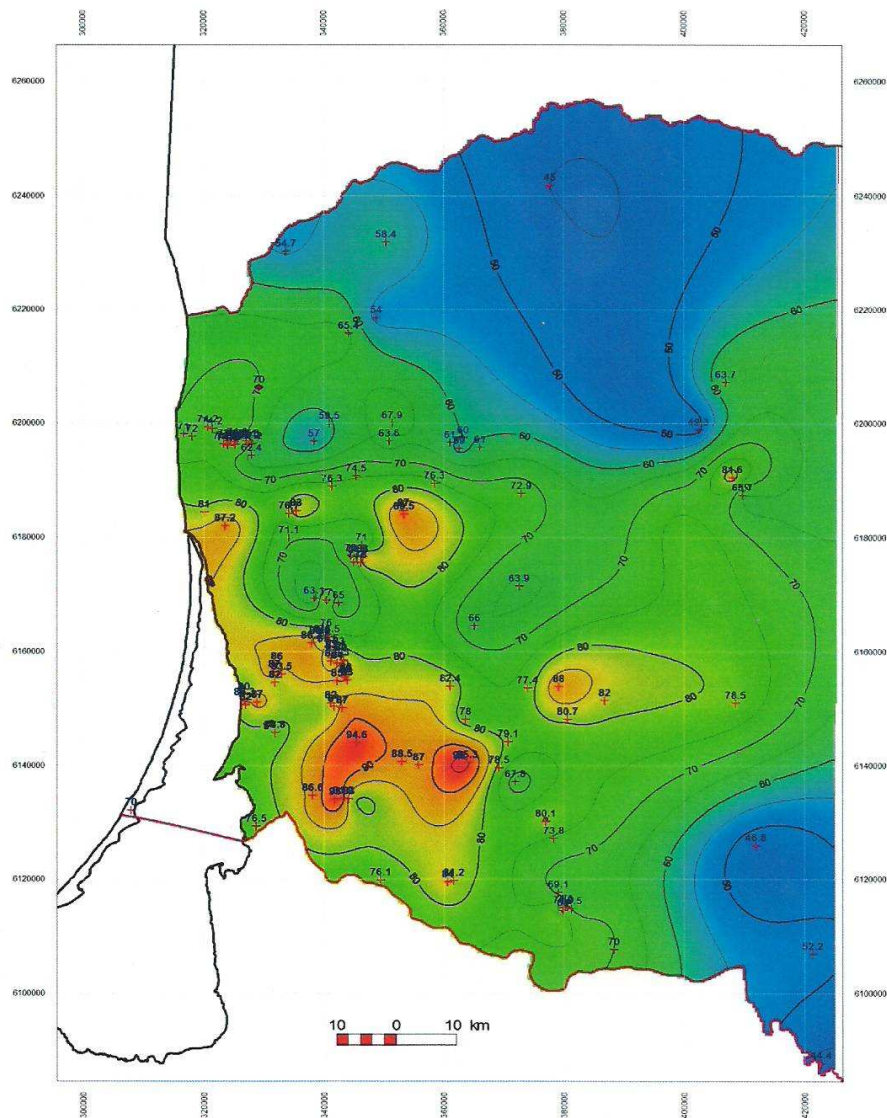
$$k_{core} = \frac{1}{n} \sum_{i=1}^n k_i$$

Gautos vidurkinės skvarbumo reikšmės pavaizduotos 2 lentelėje. Sudarytas Vakaru Lietuvos Pajūrio svitos efektyvių storijų žemėlapis, naudojantis „Geographix“ programinės įrangos kartografavimo moduliu „GeoAtlas“. Izolinijos žemėlapyje sužymėtos kas 25 mD. Sudaryto žemėlapio pagalba išskirtos 3 labai aukšto skvarbumo zonas, kuriose skvarbumas 400 mD ir daugiau, ties Genčiais, Eitučiais ir Palukne.



## VANDENS TEMPERATŪROS PASISKIRSTYMAS

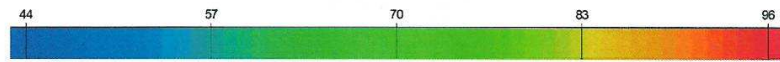
Geoterminėm savybėm skaičiuoti naudotos kambro kraigo temperatūros. Jos gautos iš LGT fondų. Kambro vandeningo horizonto kraigo temperatūrų žemėlapis sudarytas „Geographix“ programinės įrangos kartografavimo moduliu „GeoAtlas“.



### Legenda

- LR sienas
- Juros krantas
- Grezinys

Cm kraigo temperatūra (t), C



6 pav. Kambro vandeningo horizonto kraigo temperatūrų žemėlapis

## GRĘŽINIŲ DUPLETO GEOTERMINIS POTENCIALAS

Geoterminiam potencialui įvertinti, pirmiausia buvo apskaičiuotas gręžinio produktyvumas. Gręžinio produktyvumas – tai koeficientas, charakterizuojantis gręžinyje išgaunamą fluido kiekį. Jis apskaičiuojamas kaip debito ir depresijos santykis:

$$PI = \frac{Q}{\Delta P},$$

kur PI- produktyvumas [ $m^3/(para^*MPa)$ ], Q- gręžinio debitas [ $m^3/para$ ],  $\Delta P = P_e - P_w$  – depresija [MPa],  $P_e$  – sluoksnio slėgis [MPa],  $P_w$  – gręžinio slėgis [MPa], t. y. kuo didesnė depresiją sukursime, tuo gausime didesnį debitą.

*Vertikalaus gręžinio produktyvumui apskaičiuoti naudota formulė (Dupuit, 1863):*

$$PI = \frac{2\pi kh}{\mu B \ln\left(\frac{r_e}{r_w}\right)},$$

kur PI- produktyvumas [ $m^3/(para^*MPa)$ ], k- uolienos skvarbumas [mD], h- kolektoriaus storis [m],  $\mu$  - klampumas [ $Pa^*s$ ], B- tūrio plėtimosi faktorius (skysčio tūrio perskaičiavimui iš paviršinių sąlygų į sluoksnio sąlygas),  $r_e$ - drenavimo kontūro spindulys, t. y. atstumas nuo gręžinio iki sluoksnio zonas, kurioje nusistovėjės pastovus slėgis lygus sluoksnio slėgiui [m],  $r_w$ - gręžinio spindulys.

Skaiciavimams atliliki buvo imamos šios vertės:  $\mu = 1$ ,  $B = 1$ ,  $r_e = 1000$  m.,  $r_w = 0,1$  m. Kaip žinia, vandens klampumas priklauso nuo druskingumo ir vandens temperatūros, tačiau, vandens druskingumo įtaka klampumui yra labai nedidelė, tad šiame darbe į tai neatsižvelgta (Hyung Tae Kwak, Gigi Zhang, and Songhua Chen, 2005). Į vandens tūrio plėtimąsi taip pat neatsižvelgta, kadangi vanduo beveik néra spūdus. Drenavimo kontūro spindulio ir gręžinio spindulio vertės imtos atsižvelgiant į naftos įmonių specialistų ilgametę patirtį.

*Horizontalaus gręžinio produktyvumas (D.Michelevičius, 2003):*

$$PI = \frac{2\pi kh}{\mu B \left[ \ln\left(\frac{2\pi r_e}{L}\right) + \frac{h}{L} \ln\left(\frac{h}{2\pi r_w}\right) \right]}, \text{ kai } h < L << r_e$$

Kur PI- produktyvumas [ $m^3/(para \cdot MPa)$ ], k- uolienos skvarbumas [ $mD$ ], h - kolektoriaus storis [m],  $\mu$  - klampumas [ $Pa^s$ ], B - tūrio plėtimosi faktorius (skysčio tūrio perskaičiavimui iš paviršinių sąlygų į sluoksnio sąlygas),  $r_e$  - drenavimo kontūro spindulys, t.y. atstumas nuo gręžinio iki sluoksnio zonas, kurioje nusistovėjęs pastovus slėgis lygus sluoksnio slėgiui [m],  $r_w$  - gręžinio spindulys, L - horizontalaus gręžinio ilgis [m], e - eksponentė.

$\mu$ , B,  $r_e$  ir  $r_w$  nežinomųjų vertės imtos tokios pat kaip ir vertikaliam gręžiniui ( $\mu = 1$ ,  $B = 1$ ,  $r_e = 1000$  m.,  $r_w = 0,1$  m). Horizontalaus gręžinio ilgis L- 300 m.

Žinant maksimalius produktyvumus, suskaičiuotas maksimalus gręžinio debitas maksimaliai depresijai, naudojantis formule:

$$Q = PI * \Delta P,$$

kur PI- produktyvumas [ $m^3/(para \cdot MPa)$ ],  $\Delta P = P_e - P_w$  – depresija [MPa],  $P_e$  – sluoksnio slėgis [MPa],  $P_w$  – gręžinio slėgis [MPa].

Maksimali depresija vertikaliam gręžiniui skaičiuota Pajūrio svitos kraigo gyliui, o maksimali depresija horizontaliam gręžiniui skaičiuota iš Pajūrio svitos kraigo gylio atėmus 500 metrų, nes (remiantis naftos kompanijų patirtimi) prieš tokį atstumą prasideda gręžinio iškreivinimas ir siurblio į didesnį gylį nuleisti nebéra techninių galimybių.

Galiausiai paskaičiuojamas gręžinio galingumas esant maksimaliam debitui, kuris priklauso nuo išgaunamo vandens temperatūros ir grąžinamo į sluoksnį vandens temperatūrų skirtumo bei debito:

$$P = c \times Q \times \rho \times (t_1 - t_2),$$

kur  $P$  – gręžinio galingumas (MW),  $c$  – vandens savitoji šiluma ( $J/kg \cdot ^\circ C$ ),  $Q$  – vandens debitas ( $m^3/para$ ),  $\rho$  – vandens tankis ( $kg/m^3$ ),  $t_1$  – geoterminio vandens šiluma ( $^\circ C$ ),  $t_2$  – grąžinamo į sluoksnį vandens temperatūra ( $^\circ C$ ).

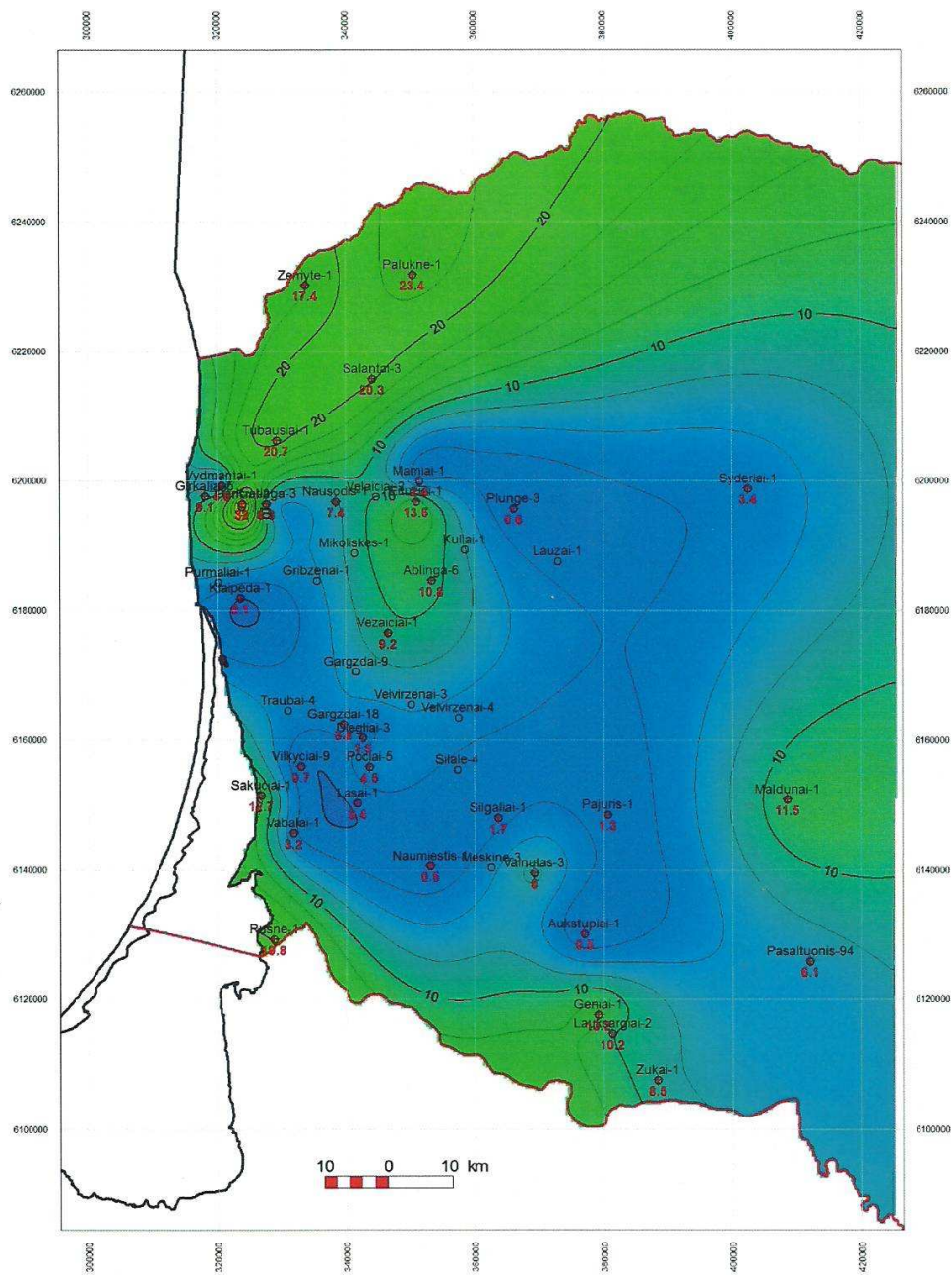
Skaičiavimams atliliki buvo imamos šios vertės:  $c = 4200 J/kg \cdot ^\circ C$ ,  $\rho = 1100 kg/m^3$ ,  $t_2 = 25 ^\circ C$ .

I lentelė. Pajūrio svitos kolektorinės savybės, produktyvumas, maksimalus debitas, galia, bei Kambro kraigo temperatūros

| Pavadinimas    | Cm,<br>°C | Skvarbumas<br>k, mD | Efektyvus<br>storis<br>h, m | produktyvumas            |                              | max galimas debitas         |                                 | galia, MW   |              |
|----------------|-----------|---------------------|-----------------------------|--------------------------|------------------------------|-----------------------------|---------------------------------|-------------|--------------|
|                |           |                     |                             | qvert, m <sup>3</sup> /d | qhor(300), m <sup>3</sup> /d | qvert,<br>m <sup>3</sup> /d | qhor(300),<br>m <sup>3</sup> /d | vert        | hor<br>(300) |
| Ablinga-6      | 87        | 130                 | 20                          | 15.125                   | 44.539                       | 3259.44                     | 7371.20                         | <b>10.8</b> | <b>24.4</b>  |
| Aukstupiai-1   | 80.1      | 10                  | 15                          | 0.873                    | 2.630                        | 164.56                      | 364.26                          | <b>0.5</b>  | <b>1.1</b>   |
| Diegliai-3     | 83        | 20                  | 20                          | 2.327                    | 6.852                        | 471.22                      | 1044.93                         | <b>1.5</b>  | <b>3.2</b>   |
| Eituciai-1     | 63.6      | 400                 | 15                          | 34.905                   | 105.207                      | 6579.59                     | 14571.17                        | <b>13.6</b> | <b>30.1</b>  |
| Gargzdai-18    | 84        | 70                  | 15                          | 6.108                    | 18.411                       | 1212.44                     | 2734.03                         | <b>3.8</b>  | <b>8.6</b>   |
| Genciai-2      | 71.2      | 400                 | 30                          | 69.810                   | 195.807                      | 12949.76                    | 26531.85                        | <b>32.0</b> | <b>65.5</b>  |
| Geniai-1       | 69.1      | 150                 | 35                          | 30.542                   | 83.568                       | 5589.19                     | 11114.54                        | <b>13.2</b> | <b>26.2</b>  |
| Girkalai-5     | 72        | 100                 | 30                          | 17.452                   | 48.952                       | 3638.74                     | 7758.89                         | <b>9.1</b>  | <b>19.5</b>  |
| Klaipeda-1     | 87.2      | 1                   | 15                          | 0.087                    | 0.263                        | 19.05                       | 44.45                           | <b>0.1</b>  | <b>0.1</b>   |
| Kretinga-3     | 72.2      | 150                 | 20                          | 17.452                   | 51.391                       | 3289.70                     | 7117.65                         | <b>8.3</b>  | <b>18.0</b>  |
| Lasai-1        | 81        | 5                   | 20                          | 0.582                    | 1.713                        | 120.18                      | 268.08                          | <b>0.4</b>  | <b>0.8</b>   |
| Lauksargiai-2  | 69.5      | 165                 | 25                          | 23.997                   | 68.981                       | 4307.46                     | 8933.04                         | <b>10.2</b> | <b>21.3</b>  |
| Maldunai-1     | 78.5      | 185                 | 20                          | 21.525                   | 63.383                       | 4003.65                     | 8620.09                         | <b>11.5</b> | <b>24.7</b>  |
| Mamiai-1       | 67.9      | 50                  | 20                          | 5.817                    | 17.130                       | 1058.69                     | 2261.16                         | <b>2.4</b>  | <b>5.2</b>   |
| Naumiestis-1   | 88.5      | 5                   | 25                          | 0.727                    | 2.090                        | 152.31                      | 333.36                          | <b>0.5</b>  | <b>1.1</b>   |
| Nausodis-1     | 57        | 200                 | 20                          | 23.270                   | 68.522                       | 4328.22                     | 9318.99                         | <b>7.4</b>  | <b>15.9</b>  |
| Pajuris-1      | 80.7      | 20                  | 20                          | 2.327                    | 6.852                        | 440.97                      | 955.85                          | <b>1.3</b>  | <b>2.8</b>   |
| Palukne-1      | 58.4      | 410                 | 35                          | 83.481                   | 228.419                      | 13106.52                    | 24440.83                        | <b>23.4</b> | <b>43.7</b>  |
| Pasaltuonis-94 | 46.8      | 300                 | 15                          | 26.179                   | 78.905                       | 5196.53                     | 11717.39                        | <b>6.1</b>  | <b>13.7</b>  |
| Plunge-3       | 61        | 20                  | 15                          | 1.745                    | 5.260                        | 320.21                      | 702.21                          | <b>0.6</b>  | <b>1.4</b>   |
| Pociai-5       | 83        | 50                  | 25                          | 7.272                    | 20.903                       | 1454.40                     | 3135.45                         | <b>4.5</b>  | <b>9.7</b>   |
| Rusne-1        | 76.5      | 200                 | 30                          | 34.905                   | 97.903                       | 7190.43                     | 15272.87                        | <b>19.8</b> | <b>42.1</b>  |
| Sakuciai-1     | 86.3      | 130                 | 25                          | 18.907                   | 54.349                       | 3875.94                     | 8424.10                         | <b>12.7</b> | <b>27.6</b>  |
| Salantai-3     | 65.4      | 200                 | 40                          | 46.540                   | 124.212                      | 9377.81                     | 18818.12                        | <b>20.3</b> | <b>40.7</b>  |
| Syderiai-1     | 49.3      | 200                 | 15                          | 17.452                   | 52.603                       | 2591.62                     | 5181.40                         | <b>3.4</b>  | <b>6.7</b>   |
| Silgaliai-1    | 78        | 20                  | 25                          | 2.909                    | 8.361                        | 602.74                      | 1314.35                         | <b>1.7</b>  | <b>3.7</b>   |
| Tubausiai-1    | 70        | 250                 | 30                          | 43.631                   | 122.379                      | 8617.12                     | 18050.90                        | <b>20.7</b> | <b>43.4</b>  |
| Vabalai-1      | 78.8      | 30                  | 30                          | 5.236                    | 14.685                       | 1110.03                     | 2378.97                         | <b>3.2</b>  | <b>6.8</b>   |
| Vainutas-3     | 78.5      | 80                  | 30                          | 13.962                   | 39.161                       | 2813.34                     | 5932.89                         | <b>8.0</b>  | <b>17.0</b>  |
| Vezaiciai-1    | 84        | 120                 | 20                          | 13.962                   | 41.113                       | 2911.08                     | 6516.41                         | <b>9.2</b>  | <b>20.6</b>  |
| Vydmantai-1    | 74.2      | 100                 | 15                          | 8.726                    | 26.302                       | 1758.29                     | 3984.75                         | <b>4.6</b>  | <b>10.5</b>  |
| Vilkyciai-9    | 83.5      | 10                  | 20                          | 1.163                    | 3.426                        | 229.11                      | 503.62                          | <b>0.7</b>  | <b>1.6</b>   |
| Zemyte-1       | 54.7      | 350                 | 30                          | 61.084                   | 171.331                      | 10964.58                    | 22187.36                        | <b>17.4</b> | <b>35.2</b>  |
| Zukai-1        | 70        | 350                 | 10                          | 20.361                   | 62.734                       | 3522.45                     | 7716.28                         | <b>8.5</b>  | <b>18.6</b>  |

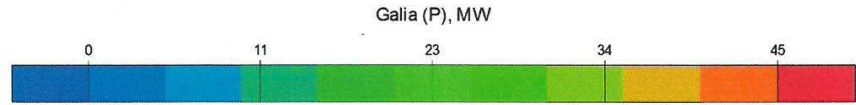
2 lentelė. Kambro kraigo vandens temperatūros

| Pavadinimas   | Cm, °C | Pavadinimas    | Cm, °C | Pavadinimas     | Cm, °C |
|---------------|--------|----------------|--------|-----------------|--------|
| Akmenė-71     | 40.20  | Mikoliškės-1   | 76.30  | Vilkaviškis-127 | 42.10  |
| Aukštupiai-2  | 73.80  | Naumiestis-2   | 87.00  | Vilkyciai-1     | 87.00  |
| Bliūdžiai-150 | 49.80  | Navikai-1      | 11.50  | Vilkyciai-5     | 86.00  |
| Darius-1      | 66.00  | Nida-1         | 70.00  | Vilkyciai-7     | 82.00  |
| Diegliai-1    | 82.00  | Pilviškiai-140 | 38.00  | Visaginas-5     | 13.40  |
| Diegliai-2    | 80.00  | Pilviškiai-141 | 43.90  | Vizdžiaugai-1   | 77.40  |
| Diegliai-4    | 83.50  | Pilviškiai-143 | 36.00  | Žalgiriai-1     | 86.60  |
| Diegliai-5    | 84.00  | Plungė-2       | 61.00  | Žutautai-1      | 74.50  |
| Diegliai-6    | 85.00  | Plungė-4       | 59.00  | Žvilių-1        | 82.00  |
| Diegliai-7    | 83.00  | Plungė-5       | 60.00  |                 |        |
| Gargždai-1    | 77.00  | Pociai-1       | 86.00  |                 |        |
| Gargždai-11   | 85.50  | Pociai-4       | 83.00  |                 |        |
| Gargždai-12   | 80.80  | Pociai-5       | 83.00  |                 |        |
| Gargždai-16   | 86.20  | Purmalių-1     | 81.00  |                 |        |
| Gargždai-2    | 63.10  | Ramučiai-1     | 94.60  |                 |        |
| Gargždai-3    | 65.00  | Renava-1       | 45.00  |                 |        |
| Gargždai-6    | 76.00  | Rukai-1        | 84.00  |                 |        |
| Gargždai-7    | 76.50  | Rukai-2        | 81.20  |                 |        |
| Gėluva-99     | 36.70  | Sakučiai-1     | 86.30  |                 |        |
| Genčai-3      | 76.20  | Sakučiai-3     | 80.00  |                 |        |
| Genčai-5      | 74.00  | Sakučiai-4     | 87.00  |                 |        |
| Genčai-6      | 73.90  | Salantai-1     | 54.00  |                 |        |
| Genčai-7      | 74.30  | Schedai-3      | 14.40  |                 |        |
| Genčai-8      | 74.50  | Stačiūnai-8    | 50.50  |                 |        |
| Genčai-9      | 74.50  | Stankevičiai-4 | 12.70  |                 |        |
| Girkalnai-1   | 71.00  | Stumbriai-1    | 63.90  |                 |        |
| Gorainiai-1   | 79.10  | Šakiai-42      | 44.40  |                 |        |
| Graužai-105   | 45.00  | Šakyna-27      | 48.50  |                 |        |
| Gribžénai-1   | 83.00  | Šaškai-2       | 13.70  |                 |        |
| Gribžénai-3   | 76.70  | Šatrija-1      | 81.60  |                 |        |
| Jurbarkas-36  | 52.20  | Šilale-1       | 82.40  |                 |        |
| K.Naumiestis- | 39.00  | Šilutė-1       | 91.90  |                 |        |
| Kazimirovo-6  | 24.80  | Šilutė-2       | 83.00  |                 |        |
| Kražantė-26   | 55.10  | Šilutė-3       | 93.00  |                 |        |
| Kretinga-1    | 67.20  | Šiupyliai-68   | 38.00  |                 |        |
| Kretinga-4    | 67.30  | Šlapgiriai-1   | 65.70  |                 |        |
| Kretinga-5    | 70.10  | Toliai-2       | 62.40  |                 |        |
| Kuliai-1      | 76.30  | Tryškiai-73    | 63.70  |                 |        |
| Kunkojai-12   | 43.00  | Usénai-1       | 76.10  |                 |        |
| Kužiai-65     | 43.80  | Vainutas-2     | 67.80  |                 |        |
| Lašai-2       | 87.00  | Varėna-978     | 14.90  |                 |        |
| Lašai-3       | 82.00  | Varėna-981     | 14.40  |                 |        |
| Laugalialai-3 | 71.10  | Varėna-982     | 11.10  |                 |        |
| Lauksargiai-1 | 76.90  | Vėlaičiai-3    | 59.50  |                 |        |
| Lauksargiai-4 | 69.00  | Vepriai-2      | 15.10  |                 |        |
| Lauksargiai-5 | 70.00  | Vėžaičiai-2    | 71.00  |                 |        |
| Laukuva-1     | 88.00  | Vėžaičiai-3    | 78.00  |                 |        |
| Laužai-1      | 72.90  | Vėžaičiai-4    | 74.50  |                 |        |
| Lazdijai-29   | 15.30  | Vėžaičiai-6    | 76.00  |                 |        |
| Lazdijai-6    | 17.40  | Vėžaičiai-8    | 73.00  |                 |        |
| Meškinė-1     | 95.30  | Vydmantai-2    | 74.20  |                 |        |

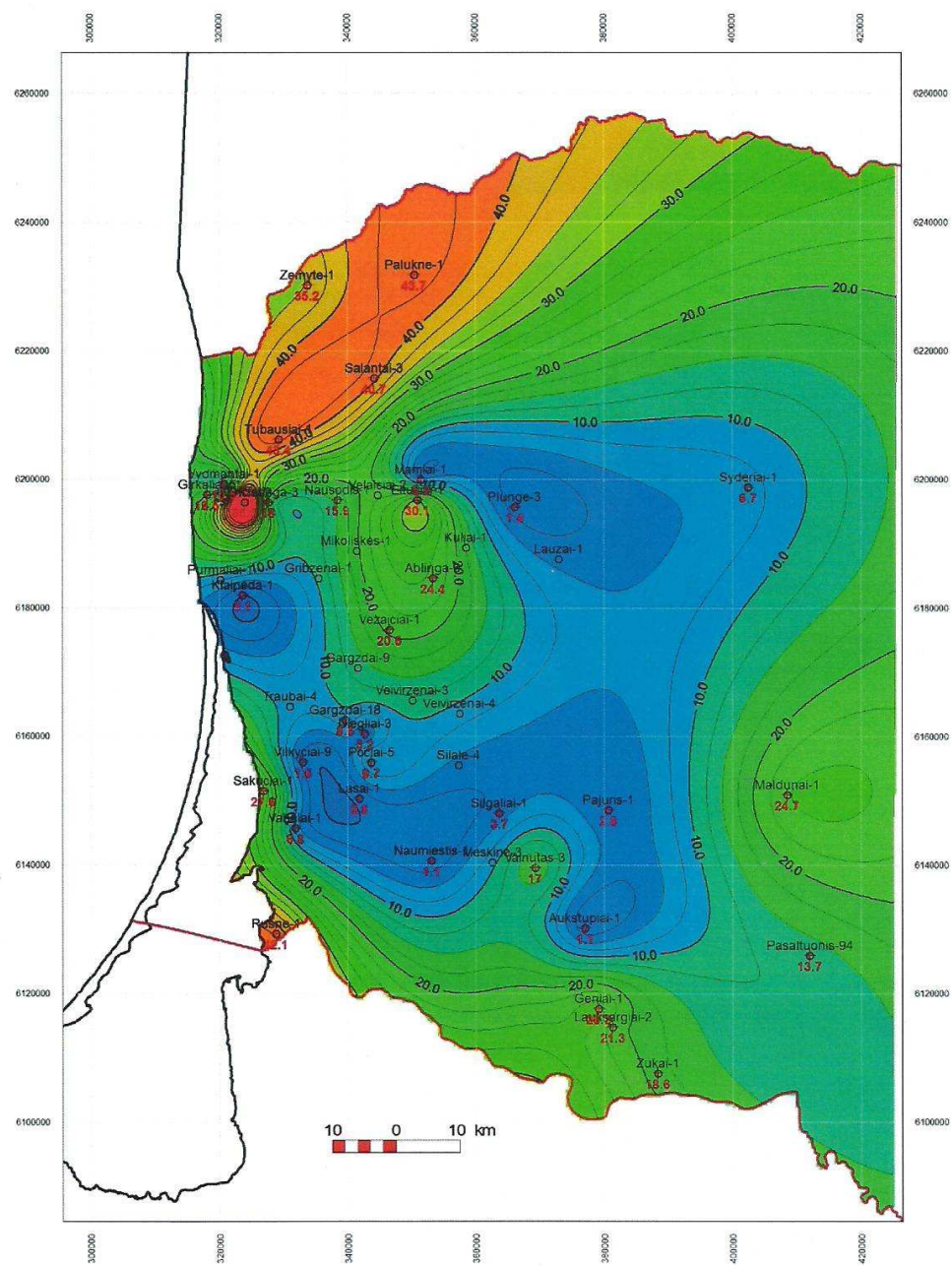


### Legenda

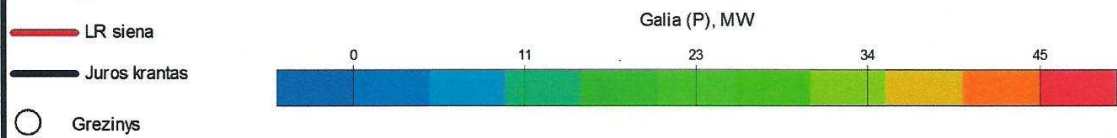
- LR siena
- Juros krantas
- Grezinys



Pav. 7 Vidurinio kambro Pajūrio svitos maksimalūs galingumai vertikaliems gręžiniams



### Legenda



8 pav. Vidurinio kambro Pajūrio svitos maksimalūs galingumai horizontaliems gręziniam

## **REZULTATŪ APIBENDRINIMAS BEI PALYGINIMAS SU ANKSČIAU PUBLIKUOTAIS**

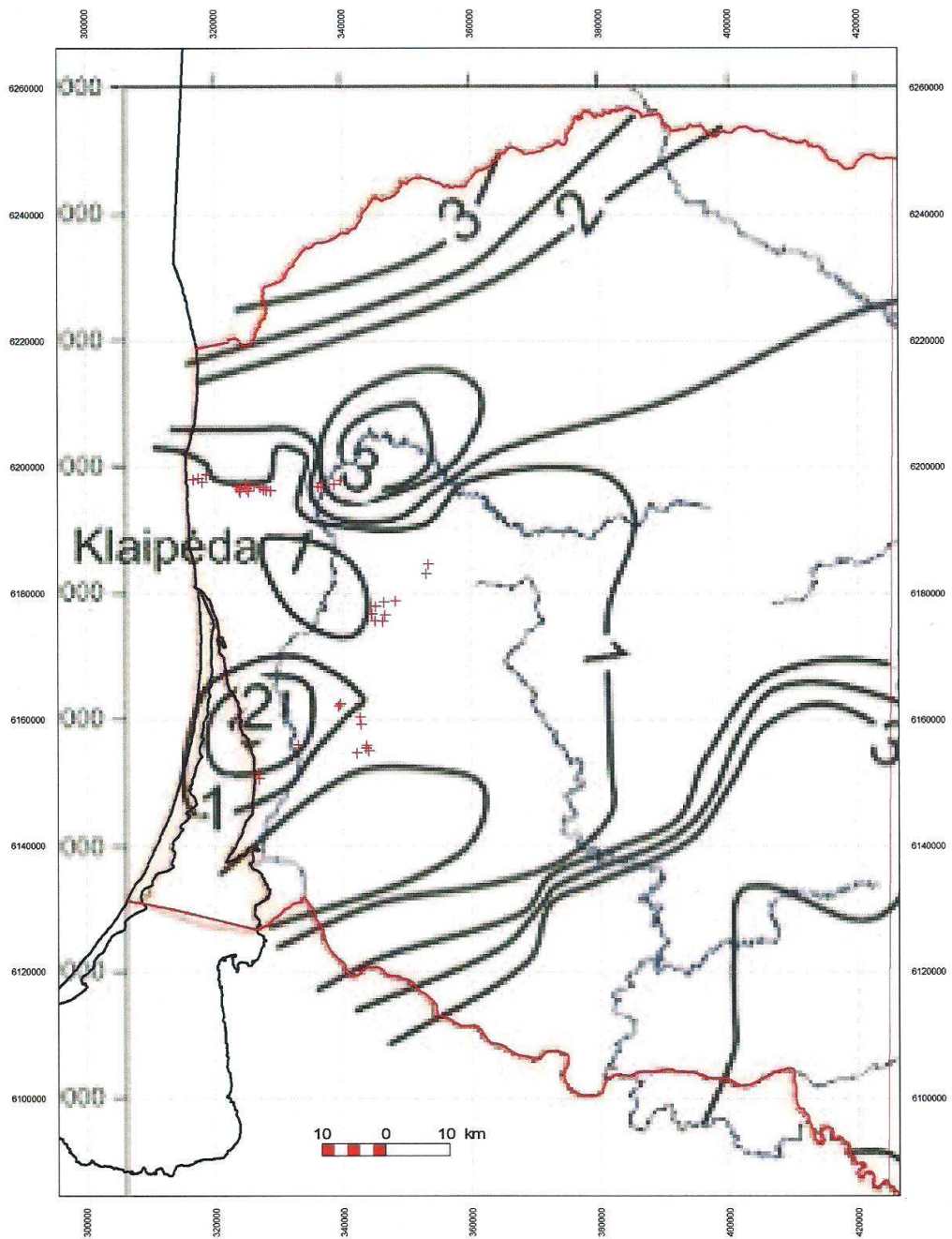
Apskaičiuotas Vakarų Lietuvos vidurinio kambro Pajūrio svitos geotermis potencialas vertikalių ir horizontalių grėžinių dupletams buvo lyginamas su 2008 metais Geologijos ir geografijos instituto atlikto taikomojo mokslinio tyrimo monitoringo „Vakarų Lietuvos regione esančių geotermiškės energijos resursų potencijalo išaiškinimas ir pagrindimas, bei galimybės jų panaudojimui energijos gamybai“ (toliau tekste *Tyrimo*) rezultatais.

*Tyrimo* nurodoma, kad kambro vandeningo horizonto geotermis potencialas yra Vakarų Lietuvoje svyruoja nuo 0,5 iki 3,8 MW. Mūsų darbe apskaičiuotas vidurinio kambro Pajūrio svitos geotermis potencialas vertikaliam grėžinių dupletui svyruoja nuo 0,1 iki 32 MW. Lygiant sudarytus geotermiškės energijos resursų potencijalo žemėlapius, atskiruose taškuose pastebėti neatitikimai iki keliasdešimt kartų: pvz. Genčiai-2 grėžinyje vertikalių grėžinių dupletas gali pasiekti 32 MW, tuo tarpu kai *Tyrimo* pateiktame žemėlapyje šiame taške stebima 1MW vertė.

Analizuojant priežastis, dėl kurių geotermiškės energijos resursų potencijalo vertinimai ženkliai skiriasi, buvo aptikti šie pastebėjimai:

- *Tyrimo* neaiškiai apibrėžta grėžinių dupleto geotermiškės energijos resursų potencijalo skaičiavimo metodika (nenurodoma debito grėžiniuose formulė, nenurodoma į sluoksnį grąžinamo vandens temperatūra),
- *Tyrimo* nenurodamos suskaičiuotos debito grėžiniuose ir geotermiškės energijos resursų potencijalo vertės, todėl liko neaišku, ar korektiškai atlikti geotermiškės energijos resursų potencijalo skaičiavimai
- Grėžiniai, kurių duomenys naudoti *Tyrimo*, netolygiai dengia vakarinę Lietuvos dalį.

Daugiau duomenų apie kambro vandeningo horizonto geotermiškės energijos resursų potencijalo paskaičiavimus nepavyko rasti.



9 pav. Kambro vandeningo sluoksnio vieno gręžinių dupleto šiluminės energijos ištekliai (MWt) ir Tyrime naudoti gręžiniai

### Legenda

- LR siena
- Juros krantas
- + Gręziny

## IŠVADOS

1. Pastaraisiais metais, naudojant šiuolaikines technologijas, dėl ženkliai didesnio produktyvumo iškreivintų (horizontalių) gręžinių gręžimas tampa vis patrauklesnis, todėl vertinant geotermį potencialą buvo atlikti skaičiavimai ne tik vertikalių, bet ir horizontalių gręžinių dupletams;
2. Apskaičiavus vidurinio Kambro Pajūrio svitos geotermį potencialą Vakarų Lietuvoje vertikalių ir horizontalių gręžinių dupletams nustatytą:
  - Maksimalios vertikalių gręžinių galingumo vertės svyruoja nuo 0,1MW (Klaipėda – 1) iki 32MW (Genčiai – 2),
  - Maksimalios horizontalių, 300 m ilgio, gręžinių galingumo vertės svyruoja nuo 0,1MW (Klaipėda – 1) iki 65Mw (Genčiai – 2);
3. Vidurinio kambro Pajūrio svitos geoterminis potencialas Vakarų Lietuvoje 300 m ilgio horizontalių gręžinių dupletui 2-2.5 karto didesnis nei geoterminis potencialas vertikalių gręžinių dupletui;
4. Apskaičiuotas vidurinio kambro Pajūrio svitos geoterminis potencialas Vakarų Lietuvoje žymiai didesnis nei iki šiol buvusių skaičiavimų. Palyginti apskaičiuotas vidurinio Kambro Pajūrio svitos geotermilio potencailo Vakarų Lietuvoje reikšmes su ankstesnių skaičiavimų reikšmėmis dėl ankstesnių skaičiavimų metodikos neapibrėžtumo ir duomenų trūkumo.

## LITERATŪRA

Bear, Jacob, 1972. Dynamics of Fluids in Porous Media, Courier Dover Publications, Dover, 764 p.

Jankauskas T., 2002, Cambrian stratigraphy of Lithuania. Geologijos institutas, leidykla „Indra“, 256 p.

Kepežinskas K., Rastenienė V., Suveizdis P. (1996). Vakarų Lietuvos geotermiška anomaliija. P. Suveizdis (ats. red.)/Geologijos in-tas, Vilnius, 68 p.

Saulius Šliaupa, Algirdas Zuzevičius, Vita Rastenienė, Artūras Baliukevičius, Feliksas Zinevičius, Juozas Gudzinskis, Kęstutis Buinevičius. (2008). Vakarų Lietuvos regione esančių geotermiškų energijos resursų potencialo išaiškinimas ir pagrindimas, bei galimybės jų panaudojimui energijos gamybai. Geologijos ir geografijos institutas, Vilnius, 186 p.

Suveizdis P., Rastienė V. (2005), Žemės gelmių šiluma Lietuvoje: ekologiška, atsinaujinanti energijos rūšis, Geografinis mertaštis 38(1) t., Geologijos ir geografijos in-tas, Vilnius, 213 – 222 p.

Vaznonis A., 1996. Lietuvos kambro uolienų Arči formulės koeficientai//Lietuvos naftingieji kompleksai, - Vilnius, p. 67-70.

Дахнов В.Н., 1975, Геофизические методы определения коллекторских свойств и нефтегазонсыщания горных пород. Москва: Недра. ст. 137-241

Чермах В., Чепмен Д., Поллак Г. и др. (1982). Тепловое поле Европы. Пер. с англ. Под ред. В. Чермаха и Л. Рыбаха, Москва: Мир, 376 с.

# **The geothermal potential of the Middle Cambrian Pajūrio formation**

**Juozas Bičkūnas**

**Paper for the Master's degree**

***Geology Master's Program***

Vilnius University, Faculty of Natural Sciences, Geology and Mineralogy Department

Supervisor – dr. Dainius Michelevičius

Vilnius, 2012

## **SUMMARY**

The purpose of this thesis is to evaluate the reservoir properties and the geothermal potential of the Middle Cambrian Pajūrio formation in western Lithuania and to produce maps of the effective thicknesses, permeability, temperature and the maximum potential for both horizontal and vertical boreholes.

Firstly, a database of 34 boreholes, which had reached the Pajūrio system and were equally spread out in the area, was created.

The reservoir properties of the formation have been evaluated using different methods. The shale content was evaluated using gamma-ray logging data, the porosity was calculated according sonic log data. Reservoir thickness was determined according above mentioned interpretation of shale content and porosity. Finally, the values of the permeability of the reservoir layers was taken from the laboratory core analysis. As a result, maps of the reservoir thickness and permeability of the Pajūrio formation were produced using the GeoGraphix software.

To produce the temperature map, temperatures from the top of the Cambrian system were taken from the database of Lithuania's geological survey.

Geothermal potential was evaluated calculating maximum productivities of vertical and 300m length horizontal boreholes. It was found that the geothermal potential in western Lithuania is 2 to 2,5 times bigger in horizontal boreholes as compared to vertical boreholes. The maximum efficiency for vertical boreholes in the area ranged from 0,1 MW (Klaipėda – 1) to 32 MW (Genčiai – 2) and the maximum efficiency for horizontal boreholes in the area ranges from 0,1 MW (Klaipėda – 1) to 65 MW (Genčiai – 2).